

## 8 轮 PRINCE 的快速密钥恢复攻击\*

段春晖<sup>1</sup>, 谭林<sup>1,2</sup>, 戚文峰<sup>1,2</sup>

1. 中国人民解放军战略支援部队信息工程大学, 郑州 450001

2. 数学工程与先进计算国家重点实验室, 郑州 450001

通信作者: 谭林, E-mail: tanlin100@163.com

**摘要:** PRINCE 算法是 J. Borghoff 等在 2012 年亚密会上提出的一个轻量级分组密码算法, 它模仿 AES 并采用  $\alpha$ -反射结构设计, 具有加解密相似的特点. 2014 年, 设计者发起了针对 PRINCE 实际攻击的公开挑战, 使得该算法的安全性成为研究的热点. 目前对 PRINCE 攻击的最长轮数是 10 轮, 其中 P. Derbez 等利用中间相遇技术攻击的数据和时间复杂度的乘积  $D \times T = 2^{125}$ , A. Canteaut 等利用多重差分技术攻击的复杂度  $D \times T = 2^{118.5}$ , 并且两种方法的时间复杂度都超过了  $2^{57}$ . 本文将 A. Canteaut 等给出的多重差分技术稍作改变, 通过考虑输入差分为固定值, 输出差分为选定的集合, 给出了目前轮数最长的 7 轮 PRINCE 区分器, 并应用该区分器对 8 轮 PRINCE 进行了密钥恢复攻击. 本文的 7 轮 PRINCE 差分区分器的概率为  $2^{-56.89}$ , 8 轮 PRINCE 的密钥恢复攻击所需的数据复杂度为  $2^{61.89}$  个选择明文, 时间复杂度为  $2^{19.68}$  次 8 轮加密, 存储复杂度为  $2^{15.21}$  个 16 比特计数器. 相比目前已知的 8 轮 PRINCE 密钥恢复攻击的结果, 包括将 A. Canteaut 等给出的 10 轮攻击方案减少到 8 轮, 本文给出的攻击方案的时间复杂度和  $D \times T$  复杂度都是最低的.

**关键词:** 分组密码; PRINCE; 差分分析

**中图分类号:** TN918.1 **文献标识码:** A **DOI:** 10.13868/j.cnki.jcr.000415

中文引用格式: 段春晖, 谭林, 戚文峰. 8 轮 PRINCE 的快速密钥恢复攻击[J]. 密码学报, 2021, 8(1): 1-13. [DOI: 10.13868/j.cnki.jcr.000415]

英文引用格式: DUAN C H, TAN L, QI W F. Faster key recovery attack on 8-round PRINCE[J]. Journal of Cryptologic Research, 2021, 8(1): 1-13. [DOI: 10.13868/j.cnki.jcr.000415]

## Faster Key Recovery Attack on 8-Round PRINCE

DUAN Chun-Hui<sup>1</sup>, TAN Lin<sup>1,2</sup>, QI Wen-Feng<sup>1,2</sup>

1. PLA Strategic Support Force Information Engineering University, Zhengzhou 450001, China

2. State Key Laboratory of Mathematical Engineering and Advanced Computing, Zhengzhou 450001, China

Corresponding author: TAN Lin, E-mail: tanlin100@163.com

**Abstract:** PRINCE is a lightweight block cipher proposed by J. Borghoff et al. at ASIACRYPT 2012. Imitating AES and using  $\alpha$ -reflection design, it possesses the similarity of encryption and decryption. In 2014, the designers launched a public challenge on finding practical attacks on PRINCE. Currently, attacks on PRINCE can reach up to 10 encryption rounds. P. Derbez et al. used meet-in-the-middle

\* 基金项目: 国家自然科学基金 (61521003); 国家密码发展基金 (MMJJ20170103, MMJJ20180204)

Foundation: National Natural Science Foundation of China (61521003); National Cryptography Development Fund (MMJJ20170103, MMJJ20180204)

收稿日期: 2020-01-07 定稿日期: 2020-05-09

technique to attack PRINCE with the data complexity and time complexity satisfying  $D \times T = 2^{125}$ , and A. Canteaut et al. used multiple differential cryptanalysis to attack PRINCE with the data complexity and time complexity satisfying  $D \times T = 2^{118.5}$ . The time complexity of both the two attacks exceeds  $2^{57}$ . This paper slightly changes the multiple differential cryptanalysis given by A. Canteaut. By considering the case when the input difference is a fixed value and the output difference falls into a selected set, a distinguisher on 7-round PRINCE with the longest number of rounds is given, which can be used to launch a key recovery attack on 8-round PRINCE. The differential probability of 7-round PRINCE differential distinguisher designed in this paper is  $2^{-56.89}$ . The key recovery attack on 8-round PRINCE is given with data complexity being  $2^{61.89}$  chosen plaintext, time complexity being  $2^{19.68}$  8-round PRINCE encryption, and memory complexity being  $2^{15.21}$  of 16-bit counters. Compared with the results of key recovery attacks on 8-round PRINCE, including reducing the 10-round attack given by A. Canteaut et al. to 8-round, the time complexity and  $D \times T$  complexity given in this paper are both the lowest.

**Key words:** block cipher; PRINCE; differential cryptanalysis

## 1 引言

随着移动通信和物联网的发展, 射频识别系统 (RFID) 和智能卡等设备的加密被广泛应用, 海量信息加密和有限资源处理间的矛盾日益突显, 传统的加密算法无法适用于资源受限的环境, 密码算法的轻量化越来越受到关注. PRESENT<sup>[1]</sup>, SIMON 和 SPECK 等<sup>[2]</sup> 轻量级密码算法先后被提出, 它们使用小规模密码组件, 在硬件实现方面有着明显的优势. PRINCE<sup>[3]</sup> 密码算法是 J. Borghoff 等在 2012 年的亚密会上提出的一个轻量级分组密码, 它基于 FX 结构<sup>[4]</sup> 设计, 具有  $\alpha$ -反射性质, 解密过程可以通过稍微改变密钥进行加密来实现. 这种特性使 PRINCE 在硬件实现上具有优势, 但也使得其安全性受到担忧, H. Soleimany 等<sup>[5]</sup> 针对某些特定的  $\alpha$  值在相关密钥模式下可以攻击全轮的 PRINCE 变种, 但这里不包括 PRINCE 算法的  $\alpha$  值.

学者们对 PRINCE 算法的安全性进行了大量分析, 表 1 罗列了目前在单密钥模式下对 PRINCE 算法不同轮数版本的主要分析结果. J. Jean 等给出了 4 轮和 6 轮 PRINCE 的积分攻击<sup>[6]</sup>. 王小云团队使用中间相遇攻击方法攻击了 8 轮和 9 轮 PRINCE<sup>[7]</sup>. 虽然 PRINCE 的轮密钥除了首尾白化外都相同, 但仍假设差分特征概率等于各轮差分概率的乘积, A. Canteaut 等<sup>[8]</sup> 构造了 5 轮和 6 轮的多重差分区分器, 攻击了 9 轮和 10 轮 PRINCE; 赵光耀等<sup>[9]</sup> 给出了 5 轮和 6 轮的截断差分区分器, 并攻击了 7 轮 PRINCE<sub>core</sub>. P. Derbez 等<sup>[10]</sup> 将中间相遇方法和 SAT 方法相结合, 攻击了 10 轮 PRINCE. P. Morawiecki 利用积分和高阶差分分析, 给出了 4 轮至 7 轮 PRINCE 实际的攻击<sup>[11]</sup>. 随后, R. Posteuca 等改进了 6 轮 PRINCE 的积分攻击, 降低了数据量和计算量<sup>[12]</sup>. 利用预存储技术, S. Rasoolzadeh 等改进了 4 至 6 轮的积分攻击和 7 轮的高阶差分攻击<sup>[13]</sup>. L. Grassi 等利用子空间路径给出了只需要 8 个选择明文的 4 轮 PRINCE 的截断差分攻击<sup>[14]</sup>.

本文将文献 [8] 的多重差分技术稍作改变, 考虑输入差分为固定值, 输出差分为选定的集合, 给出了目前轮数最长的 7 轮 PRINCE 区分器, 并对 8 轮 PRINCE 进行了密钥恢复攻击. 本文给出的 7 轮差分区分器的概率为  $2^{-56.89}$ , 8 轮 PRINCE 的密钥恢复攻击所需的数据复杂度为  $2^{61.89}$  个选择明文, 时间复杂度为  $2^{19.68}$  次 8 轮加密, 存储复杂度为  $2^{15.21}$  个 16 比特计数器. 相比目前已知的 8 轮 PRINCE 密钥恢复攻击的结果, 包括将 A. Canteaut 等的 10 轮攻击方案减到 8 轮, 本文的时间复杂度和  $D \times T$  复杂度都是最低的.

## 2 PRINCE 密码算法简介

PRINCE 算法是一个 SPN 型的分组密码, 分组长度为 64 比特, 密钥长度为 128 比特, 迭代轮数为 12 轮, 算法结构如图 1 所示. 128 比特的密钥被分为 2 个 64 比特的子密钥  $k_0$  和  $k_1$ , 其中  $k_1$  应用于

表 1 不同轮数 PRINCE 算法的攻击结果  
Table 1 Cryptanalysis results of different rounds PRINCE

轮数	数据复杂度 <sup>1</sup>	时间复杂度	存储复杂度	攻击方法	参考文献
4	$2^{10}$	— <sup>2</sup>	$\ll 2^{27}$	中间相遇分析	[10]
	$2^3$	$2^{18.3}$	—	截断差分分析	[14]
	$2^6$	$2^{7.4}$	—	积分分析	[13]
5	$2^5$	$2^{21.4}$	$2^5$	积分分析	[13]
	$2^{13}$	$2^{13}$	$2^5$	积分分析	[13]
6	$2^{16}$	$2^{33.7}$	$2^{31.9}$	中间相遇分析	[10]
	$2^{13}$	$2^{24.6}$	$2^{13}$	积分分析	[13]
7	$2^{34.6}$	$2^{52.1}$	$2^{34.6}$	高阶差分分析	[11]
	$2^{33}$	$2^{44.3}$	$2^{33}$	高阶差分分析	[13]
8	$2^{53}$	$2^{60}$	$2^{30}$	中间相遇分析	[7]
	$2^{16}$	$2^{50.7*3}$	$2^{84.9}$	中间相遇分析	[10]
	$2^{16}$	$2^{65.7*}$	$2^{68.9}$	中间相遇分析	[10]
	$2^{16}$	$2^{66.3}$	$2^{49.9}$	中间相遇分析	[10]
	$2^{61.89}$	$2^{19.68}$	$2^{15.21}$	多重差分分析	第 5 节
9	$2^{46.9}$	$2^{51.2}$	$2^{52.2}$	多重差分分析	[8]
	$2^{57}$	$2^{64}$	$2^{57.3}$	中间相遇分析	[10]
10	$2^{57.9}$	$2^{60.6}$	$2^{61.5}$	多重差分分析	[8]
	$2^{57}$	$2^{68*}$	$2^{41}$	中间相遇分析	[10]

1. 数据量均为选择明文

2. —表示复杂度几乎为 0

3. \* 处标注数值为线上计算的复杂度

核心部件  $\text{PRINCE}_{\text{core}}$ ,  $k_0$  和  $k'_0$  用于算法输入、输出两端的白化, 这里  $k'_0 = (k_0 \ggg 1) \oplus (k_0 \ggg 63)$ .  $\text{PRINCE}_{\text{core}}$  采用对称结构, 中间 2 轮是对合的, 前后 5 轮除轮常数不同外互为逆变换, 轮常数满足  $\text{RC}_i \oplus \text{RC}_{11-i} = \alpha, 0 \leq i \leq 11$ , 这里  $\alpha$  是个固定常数. PRINCE 算法可以通过加密操作来实现解密, 即  $D_{(k_0 \| k'_0 \| k_1)}(\cdot) = E_{(k'_0 \| k_0 \| k_1 \oplus \alpha)}(\cdot)$ .

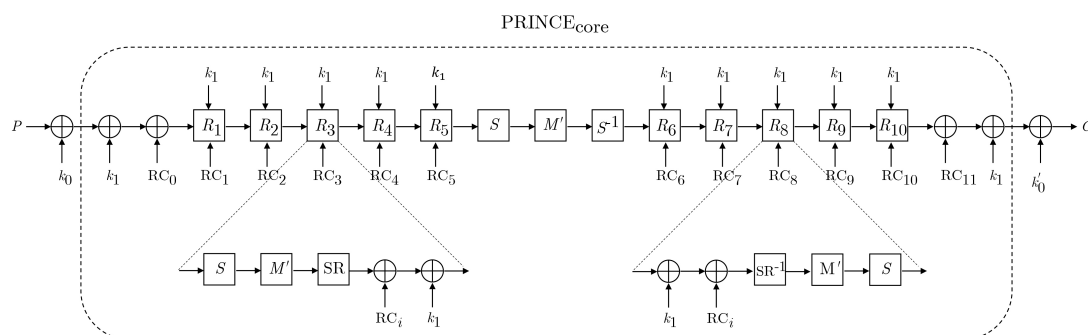


图 1 PRINCE 算法结构图

Figure 1 Structure of PRINCE

将 PRINCE 的 64 比特状态  $X$  看成一个  $4 \times 4$  的矩阵, 每一个块单元为 4 比特, 本文中我们记  $X^{(l)}$  为表示  $X$  的第  $l$  块,  $l \in \{0, 1, \dots, 15\}$ , 块的顺序如图 2 所示. 算法的轮函数可表示为  $R = \text{AK} \circ \text{ARC} \circ$

SR  $\circ$   $M' \circ S$ , 包括以下 5 个变换:

0	4	8	12
1	5	9	13
2	6	10	14
3	7	11	15

图 2 状态  $X$  的 16 个块标记

Figure 2 State  $X$

$S$  层: 16 个块同时查询一个 4 比特的  $S$  盒,  $S$  盒如表 2 所示.

表 2 PRINCE 的  $S$  盒  
Table 2 S-box of PRINCE

$x$	0	1	2	3	4	5	6	7	8	9	A	B	C	D	E	F
$S(x)$	B	F	3	2	A	C	9	1	6	7	8	0	E	5	D	4

扩散层  $M'$ : 扩散层对应角矩阵  $M' = \text{diag}(\hat{M}^0, \hat{M}^1, \hat{M}^1, \hat{M}^0)$ , 作用在状态  $X$  上为

$$M' \cdot X = (\hat{M}^0 \cdot X_1 || \hat{M}^1 \cdot X_2 || \hat{M}^1 \cdot X_3 || \hat{M}^0 \cdot X_4)$$

这里  $X_i$  表示  $X$  的第  $i$  列,  $1 \leq i \leq 4$ , 矩阵  $\hat{M}^0, \hat{M}^1$  分别为:

$$\hat{M}^0 = \begin{pmatrix} M_0 & M_1 & M_2 & M_3 \\ M_1 & M_2 & M_3 & M_0 \\ M_2 & M_3 & M_0 & M_1 \\ M_3 & M_0 & M_1 & M_2 \end{pmatrix}, \hat{M}^1 = \begin{pmatrix} M_1 & M_2 & M_3 & M_0 \\ M_2 & M_3 & M_0 & M_1 \\ M_3 & M_0 & M_1 & M_2 \\ M_0 & M_1 & M_2 & M_3 \end{pmatrix}$$

其中

$$M_0 = \begin{pmatrix} 0 & 0 & 0 & 0 \\ 0 & 1 & 0 & 0 \\ 0 & 0 & 1 & 0 \\ 0 & 0 & 0 & 1 \end{pmatrix}, M_1 = \begin{pmatrix} 1 & 0 & 0 & 0 \\ 0 & 0 & 0 & 0 \\ 0 & 0 & 1 & 0 \\ 0 & 0 & 0 & 1 \end{pmatrix},$$

$$M_2 = \begin{pmatrix} 1 & 0 & 0 & 0 \\ 0 & 1 & 0 & 0 \\ 0 & 0 & 0 & 0 \\ 0 & 0 & 0 & 1 \end{pmatrix}, M_3 = \begin{pmatrix} 1 & 0 & 0 & 0 \\ 0 & 1 & 0 & 0 \\ 0 & 0 & 1 & 0 \\ 0 & 0 & 0 & 0 \end{pmatrix}$$

行移位 SR: 与 AES 的行移位操作相同, 将状态的第  $i$  行向左循环移动  $i$  个块,  $0 \leq i \leq 3$ .

轮常数加 ARC: 比特异或一个 64 比特轮常数  $RC_i, 0 \leq i \leq 11$ .

密钥加 AK: 比特异或 64 比特密钥  $k_1$ .

### 3 准备工作

设  $R$  是一个 SPN 型分组密码的轮函数,  $\Delta_{\text{in}}$  和  $\Delta_{\text{out}}$  分别表示其输入差分 and 输出差分, 则经过  $R$  的差分概率  $P(\Delta_{\text{in}} \xrightarrow{R} \Delta_{\text{out}})$  等于活动  $S$  盒的差分概率的乘积. 设  $\Delta_{\text{in}} = \Delta_0 \rightarrow \Delta_1 \rightarrow \cdots \rightarrow \Delta_{r-1} \rightarrow \Delta_r = \Delta_{\text{out}}$  是密码经过  $r$  轮的一条差分路径, 根据马尔科夫链的假设, 该差分特征概率等于各轮差分概率的乘

积, 即

$$P(\Delta_{\text{in}} \rightarrow \Delta_1 \rightarrow \cdots \rightarrow \Delta_{r-1} \rightarrow \Delta_{\text{out}}) = \prod_{i=0}^{r-1} P(\Delta_i \xrightarrow{R} \Delta_{i+1})$$

设  $\Delta_{\text{in}}$  和  $\Delta_{\text{out}}$  分别表示  $r$  轮的输入差分 and 输出差分, 则  $r$  轮差分概率

$$P(\Delta_{\text{in}} \xrightarrow{R^r} \Delta_{\text{out}}) = \sum P(\Delta_{\text{in}} \rightarrow \Delta_1 \rightarrow \cdots \rightarrow \Delta_{r-1} \rightarrow \Delta_{\text{out}})$$

这里的求和式是对所有输入差分为  $\Delta_{\text{in}}$ 、输出差分为  $\Delta_{\text{out}}$  的  $r$  轮差分特征概率求和. 由于我们很难穷尽所有的差分特征, 所以通常使用部分差分特征概率求和来近似计算  $P(\Delta_{\text{in}} \xrightarrow{R^r} \Delta_{\text{out}})$ . 如果考虑输出差分不是某个固定值, 而是某个集合  $\Lambda$ , 则输入差分为  $\Delta_{\text{in}}$ 、输出差分属于集合  $\Lambda$  的概率

$$P(\Delta_{\text{in}} \xrightarrow{R^r} \Lambda) = \sum_{\Delta_{\text{out}} \in \Lambda} P(\Delta_{\text{in}} \xrightarrow{R^r} \Delta_{\text{out}})$$

PRINCE 算法 S 盒的差分分布表见附录, 记  $p(\alpha \rightarrow \beta)$  表示 S 盒输入差分为  $\alpha$ 、输出差分为  $\beta$  的概率, 例如  $p(1 \rightarrow 1) = \frac{4}{16} = 2^{-2}$ .

下面介绍本文用到的八种差分模式, 如图 3 所示, 记作  $\Delta^i, i \in \{1, 2, \dots, 8\}$ . 每个差分模式  $\Delta^i$  只有 4 个块有差分, 其余块差分为 0, 属于模式  $\Delta^i$  的差分由 4 个非零差分块决定, 将其记为  $\Delta_{(a,b,c,d)}^i$ , 其中  $a, b, c, d$  是非零差分块的差分值.

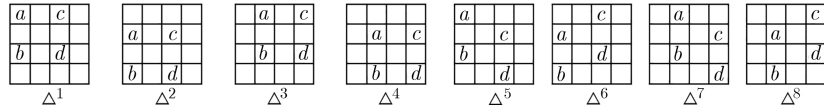


图 3 差分模式  $\Delta^i, i = 1, 2, \dots, 8$   
Figure 3 Difference pattern  $\Delta^i, i = 1, 2, \dots, 8$

文献 [9] 指出了矩阵  $\hat{M}^0$  和  $\hat{M}^1$  具有如下性质: 如果  $\delta \in \{1, 4, 5\}$ , 则

$$\begin{aligned} \hat{M}^0 \cdot (0, \delta, 0, \delta)^T &= (\delta, 0, \delta, 0)^T \\ \hat{M}^0 \cdot (\delta, 0, \delta, 0)^T &= (0, \delta, 0, \delta)^T \\ \hat{M}^1 \cdot (0, \delta, 0, \delta)^T &= (0, \delta, 0, \delta)^T \\ \hat{M}^1 \cdot (\delta, 0, \delta, 0)^T &= (\delta, 0, \delta, 0)^T \end{aligned}$$

如果  $\delta \in \{2, 8, 10\}$ ,

$$\begin{aligned} \hat{M}^0 \cdot (0, \delta, 0, \delta)^T &= (0, \delta, 0, \delta)^T \\ \hat{M}^0 \cdot (\delta, 0, \delta, 0)^T &= (\delta, 0, \delta, 0)^T \\ \hat{M}^1 \cdot (0, \delta, 0, \delta)^T &= (\delta, 0, \delta, 0)^T \\ \hat{M}^1 \cdot (\delta, 0, \delta, 0)^T &= (0, \delta, 0, \delta)^T \end{aligned}$$

#### 4 7 轮 PRINCE 的差分区分器

由于轮密钥加和轮常数加不影响差分, 在下面的分析中我们将忽略这两个操作. 7 轮 PRINCE 可以表示成:

$$R^7 = R^{-1} \circ R^{-1} \circ S^{-1} \circ M' \circ S \circ R \circ R \circ R = S^{-1} \circ R'^{-1} \circ F_{\text{mid}} \circ R' \circ S \circ R$$

其中  $R = SR \circ M' \circ S, R' = S \circ SR \circ M', F_{\text{mid}} = M' \circ SR^{-1} \circ S^{-1} \circ M' \circ S \circ SR \circ M'$ . 为了计算 7 轮 PRINCE 在限定输入和输出差分集合的差分概率, 我们逐层考虑差分路径中各个节点的差分概率. 首先考虑  $R$  层的输入差分集合

$$\sum_{\text{in}}^R = \{\Delta_{(1,1,1,1)}^i, \Delta_{(1,1,1,8)}^i, \Delta_{(1,1,8,1)}^i, \Delta_{(1,8,1,1)}^i, \Delta_{(8,1,1,1)}^i, \Delta_{(1,1,8,8)}^i, \Delta_{(8,8,1,1)}^i, \Delta_{(8,8,8,8)}^i, i = 5, 6, 7, 8\}$$

和输出差分集合

$$\sum_{\text{out}}^R = \{\Delta_{(1,1,1,1)}^j, \Delta_{(4,4,4,4)}^j, \Delta_{(1,4,4,1)}^j, \Delta_{(4,1,1,4)}^j, \Delta_{(8,8,8,8)}^j, j = 1, 2, 3, 4\}$$

对每个输入差分  $\Delta_{\text{in}} \in \sum_{\text{in}}^R$ , 输出差分  $\Delta_{\text{out}} \in \sum_{\text{out}}^R$ , 计算经过  $R$  层的差分概率  $P(\Delta_{\text{in}} \xrightarrow{R} \Delta_{\text{out}})$ , 并将其写成一个  $32 \times 20$  的矩阵  $D_R$ , 其中第  $8k + 1$  至  $8k + 8$  行依次表示输入差分为  $\Delta_{(1,1,1,1)}^{k+5}, \Delta_{(1,1,1,8)}^{k+5}, \Delta_{(1,1,8,1)}^{k+5}, \Delta_{(1,8,1,1)}^{k+5}, \Delta_{(8,1,1,1)}^{k+5}, \Delta_{(1,1,8,8)}^{k+5}, \Delta_{(8,8,1,1)}^{k+5}, \Delta_{(8,8,8,8)}^{k+5}, k = 0, 1, 2, 3$ ; 第  $5t + 1$  至  $5t + 5$  列依次表示输出差分为  $\Delta_{(1,1,1,1)}^{t+1}, \Delta_{(4,4,4,4)}^{t+1}, \Delta_{(1,4,4,1)}^{t+1}, \Delta_{(4,1,1,4)}^{t+1}, \Delta_{(8,8,8,8)}^{t+1}, t = 0, 1, 2, 3$ . 概率  $P(\Delta_{\text{in}} \xrightarrow{R} \Delta_{\text{out}})$  等于四个活动 S 盒差分概率的乘积, 例如,

$$\begin{aligned} P(\Delta_{(1,1,1,1)}^5 \xrightarrow{R} \Delta_{(8,8,8,8)}^1) &= P(\Delta_{(1,1,1,1)}^7 \xrightarrow{R} \Delta_{(8,8,8,8)}^2) = p(1 \rightarrow 8)^4 = 2^{-8} \\ P(\Delta_{(1,1,1,1)}^5 \xrightarrow{R} \Delta_{(1,1,1,1)}^4) &= P(\Delta_{(1,1,1,1)}^7 \xrightarrow{R} \Delta_{(1,1,1,1)}^3) = p(1 \rightarrow 1)^4 = 2^{-8} \end{aligned}$$

它们经过  $R$  层的具体差分路径如图 4 所示.

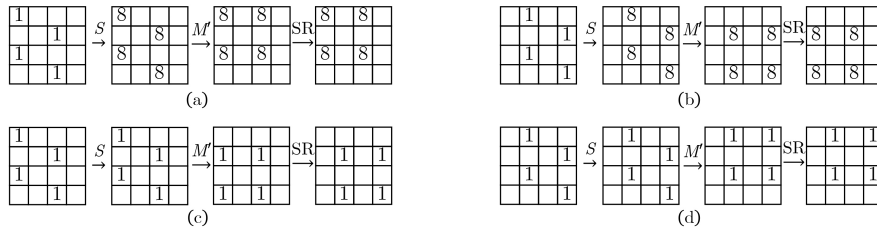


图 4  $R$  层的 4 条差分特征  
Figure 4 4 differential characteristics of  $R$

由于扩散层中矩阵  $\hat{M}^0, \hat{M}^1$  具有的特殊性质, 矩阵  $D_R$  可以写成分块矩阵的形式:

$$D_R = \begin{pmatrix} 0 & 0 & 0 & A & B & 0 & 0 & 0 \\ A & 0 & 0 & 0 & 0 & 0 & 0 & B \\ 0 & 0 & A & 0 & 0 & B & 0 & 0 \\ 0 & A & 0 & 0 & 0 & 0 & B & 0 \end{pmatrix}$$

其中

$$\begin{aligned} A &= 2^{-12} \times \begin{pmatrix} 16 & 0 & 0 & 0 & 0 & 0 & 0 & 0 \\ 1 & 2 & 2 & 2 & 2 & 4 & 4 & 16 \\ 4 & 0 & 0 & 8 & 8 & 0 & 16 & 0 \\ 4 & 8 & 8 & 0 & 0 & 16 & 0 & 0 \end{pmatrix}^T \\ B &= 2^{-12} \times \begin{pmatrix} 16 & 8 & 8 & 8 & 8 & 4 & 4 & 1 \end{pmatrix}^T \end{aligned}$$

将  $R$  层的输出差分集合作为  $S$  层的输入差分集, 即  $\sum_{\text{in}}^S = \sum_{\text{out}}^R$ , 考虑  $S$  层的输出差分集合

$$\sum_{\text{out}}^S = \{\Delta_{(a', a', c', c')}^j | (a', c') \in \{1, 4\} \times \{2, 8, 10\} \cup \{2, 8, 10\} \times \{1, 4\}, j = 1, 2, 3, 4\}$$

同样地计算每个输入差分  $\Delta_{\text{in}} \in \sum_{\text{in}}^S$ , 输出差分  $\Delta_{\text{out}} \in \sum_{\text{out}}^S$ , 经过  $S$  层的差分概率  $P(\Delta_{\text{in}} \xrightarrow{S} \Delta_{\text{out}})$ , 将其写成  $20 \times 48$  的矩阵  $D_S$ . 由于  $S$  层分别独立地作用于 16 个块, 不会改变输入和输出的差分模式, 所以当  $i \neq j$  时,  $P(\Delta_{(a, b, c, d)}^i \xrightarrow{S} \Delta_{(a', a', c', c')}^j) = 0$  且  $P(\Delta_{(a, b, c, d)}^i \xrightarrow{S} \Delta_{(a', a', c', c')}^i)$  等于四个活动 S 盒的差分概率的乘积, 即  $p(a \rightarrow a') \times p(b \rightarrow a') \times p(c \rightarrow c') \times p(d \rightarrow c')$ . 矩阵  $D_S$  也可以写成分块矩阵的形式:

$$D_S = \begin{pmatrix} C & 0 & 0 & 0 & C & 0 & 0 & 0 \\ 0 & C & 0 & 0 & 0 & C & 0 & 0 \\ 0 & 0 & C & 0 & 0 & 0 & C & 0 \\ 0 & 0 & 0 & C & 0 & 0 & 0 & C \end{pmatrix}$$

其中

$$C = 2^{-12} \times \begin{pmatrix} 0 & 0 & 16 & 4 & 0 & 0 \\ 1 & 1 & 1 & 1 & 1 & 1 \\ 0 & 0 & 4 & 2 & 0 & 0 \\ 0 & 0 & 4 & 2 & 0 & 0 \\ 0 & 4 & 0 & 4 & 0 & 0 \end{pmatrix}$$

考虑  $R'$  层的输入差分集合和输出差分集合都为集合  $\sum_{\text{out}}^S$ , 即

$$\sum_{\text{in}}^{R'} = \sum_{\text{out}}^{R'} = \sum_{\text{out}}^S = \{\Delta_{(a', a', c', c')}^j | (a', c') \in \{1, 4\} \times \{2, 8, 10\} \cup \{2, 8, 10\} \times \{1, 4\}, j = 1, 2, 3, 4\}$$

计算每个输入差分  $\Delta_{\text{in}} \in \sum_{\text{in}}^{R'}$ , 输出差分  $\Delta_{\text{out}} \in \sum_{\text{out}}^{R'}$ , 经过  $R'$  层的差分概率  $P(\Delta_{\text{in}} \xrightarrow{R'} \Delta_{\text{out}})$ , 将其写成一个  $48 \times 48$  矩阵  $D_{R'}$ . 同样矩阵  $D_{R'}$  也可以写成分块矩阵的形式:

$$D_{R'} = \begin{pmatrix} G & 0 & 0 & 0 & G & 0 & 0 & 0 \\ 0 & 0 & 0 & G & 0 & 0 & 0 & G \\ 0 & 0 & 0 & G & 0 & 0 & 0 & G \\ G & 0 & 0 & 0 & G & 0 & 0 & 0 \\ 0 & G & 0 & 0 & 0 & G & 0 & 0 \\ 0 & 0 & G & 0 & 0 & 0 & G & 0 \\ 0 & 0 & G & 0 & 0 & 0 & G & 0 \\ 0 & G & 0 & 0 & 0 & G & 0 & 0 \end{pmatrix}$$

其中

$$G = 2^{-12} \times \begin{pmatrix} 0 & 0 & 4 & 0 & 0 & 0 \\ 0 & 0 & 1 & 0 & 0 & 0 \\ 0 & 0 & 0 & 4 & 0 & 0 \\ 0 & 2 & 0 & 2 & 0 & 0 \\ 0 & 0 & 0 & 2 & 0 & 0 \\ 0 & 0 & 0 & 1 & 0 & 0 \end{pmatrix}$$

对  $F_{\text{mid}}$  层考察输入差分集合和输出差分集合都为集合  $\sum_{\text{out}}^S$ , 即  $\sum_{\text{in}}^{F_{\text{mid}}} = \sum_{\text{out}}^{F_{\text{mid}}} = \sum_{\text{out}}^S$ , 计算每个输入差分  $\Delta_{\text{in}} \in \sum_{\text{in}}^{F_{\text{mid}}}$ , 输出差分  $\Delta_{\text{out}} \in \sum_{\text{out}}^{F_{\text{mid}}}$ , 经过  $F_{\text{mid}}$  层的差分概率  $P(\Delta_{\text{in}} \xrightarrow{F_{\text{mid}}} \Delta_{\text{out}})$ , 将其

写成  $48 \times 48$  矩阵  $D_{F_{\text{mid}}}$ . 因为  $F_{\text{mid}} = M' \circ \text{SR}^{-1} \circ S^{-1} \circ M' \circ S \circ \text{SR} \circ M'$  不包含轮密钥加, 是一个与密钥无关的确定的函数, 可以通过计算机程序来计算我们需要的差分概率, 文献 [8] 也是如此计算中间层的差分概率的. 矩阵  $D_{F_{\text{mid}}}$  也可以写成分块矩阵的形式:

$$D_{F_{\text{mid}}} = \begin{pmatrix} H & 0 & H & 0 & 0 & H & 0 & H \\ 0 & H & 0 & H & H & 0 & H & 0 \\ 0 & H & 0 & H & H & 0 & H & 0 \\ H & 0 & H & 0 & 0 & H & 0 & H \\ H & 0 & H & 0 & 0 & H & 0 & H \\ 0 & H & 0 & H & H & 0 & H & 0 \\ 0 & H & 0 & H & H & 0 & H & 0 \\ H & 0 & H & 0 & 0 & H & 0 & H \end{pmatrix}$$

其中

$$H = 2^{-22} \times \begin{pmatrix} 8 & 0 & 0 & 0 & 0 & 0 \\ 0 & 1 & 0 & 0 & 0 & 0 \\ 0 & 0 & 8 & 0 & 0 & 2 \\ 0 & 0 & 0 & 6 & 2 & 0 \\ 0 & 0 & 0 & 2 & 4 & 0 \\ 0 & 0 & 2 & 0 & 0 & 3 \end{pmatrix}$$

考虑  $R'^{-1}$  层的输入差分集合和输出差分集合均为  $\sum_{\text{out}}^S$ , 考虑  $S^{-1}$  层的输入差分集合为  $\sum_{\text{out}}^S$ , 输出差分集合为  $\sum_{\text{in}}^S = \sum_{\text{out}}^R$ , 则它们对应的差分概率矩阵  $D_{R'^{-1}} = D_{R'}^T, D_{S^{-1}} = D_S^T$ . 利用上述每一层函数的差分概率矩阵, 我们计算输入差分  $\Delta_{\text{in}} \in \sum_{\text{in}}^R$ , 输出差分  $\Delta_{\text{out}} \in \sum_{\text{out}}^R$ , 经过 7 轮 PRINCE 后的差分概率  $P(\Delta_{\text{in}} \xrightarrow{R^7} \Delta_{\text{out}})$  构成的  $32 \times 20$  的差分概率矩阵

$$D_{R^7} = D_R \cdot D_S \cdot D_{R'} \cdot D_{F_{\text{mid}}} \cdot D_{R'}^T \cdot D_S^T$$

将  $D_{R^7}$  写成分块矩阵的形式

$$D_{R^7} = \begin{pmatrix} N & N & N & N \\ N & N & N & N \\ N & N & N & N \\ N & N & N & N \end{pmatrix}$$

其中行表示输入差分  $\Delta_{(a,b,c,d)}^i \in \sum_{\text{in}}^R, i = 5, 6, 7, 8$  四种差分模式, 列表示  $\Delta_{(a',b',c',d')}^j \in \sum_{\text{out}}^R, j = 1, 2, 3, 4$  四种差分模式, 这 16 种输入和输出差分模式组合在限定的 8 个输入差分到 5 个输出差分的概率子矩阵  $N$  相同:

$$N = \begin{pmatrix} 2^{-59.74} & 2^{-62.68} & 2^{-61.58} & 2^{-61.58} & 2^{-62.82} \\ 2^{-62.32} & 2^{-65.13} & 2^{-64.15} & 2^{-64.15} & 2^{-65.25} \\ 2^{-62.32} & 2^{-65.13} & 2^{-64.15} & 2^{-64.15} & 2^{-65.25} \\ 2^{-62.32} & 2^{-65.13} & 2^{-64.15} & 2^{-64.15} & 2^{-65.25} \\ 2^{-62.32} & 2^{-65.13} & 2^{-64.15} & 2^{-64.15} & 2^{-65.25} \\ 2^{-61.64} & 2^{-64.54} & 2^{-63.48} & 2^{-63.48} & 2^{-64.67} \\ 2^{-61.64} & 2^{-64.54} & 2^{-63.48} & 2^{-63.48} & 2^{-64.67} \\ 2^{-62.99} & 2^{-65.49} & 2^{-64.83} & 2^{-64.83} & 2^{-65.67} \end{pmatrix}$$

矩阵  $N$  中有 12 个值大于  $2^{-63}$ , 也就是说我们得到 7 轮 PRINCE 的  $12 \times 16 = 192$  对概率大于



$2^{-63}$  的差分, 由于计算时只使用了部分差分特征, 所以实际的差分概率要比  $D_{R^7}$  中给出的值更大.

下面我们给出区分 7 轮 PRINCE 和随机置换的差分区分器. 设明文输入差分为  $\Delta_{\text{in}} = \Delta_{(1,1,1,1)}^5$ , 任意固定的  $j \in \{1, 2, 3, 4\}$ , 对 7 轮 PRINCE 而言, 输出差分落入集合

$$\Omega_{\text{out}}^j = \{\Delta_{(1,1,1,1)}^j, \Delta_{(4,4,4,4)}^j, \Delta_{(1,4,4,1)}^j, \Delta_{(4,1,1,4)}^j, \Delta_{(8,8,8,8)}^j\}$$

的概率为

$$\begin{aligned} P(\Delta_{(1,1,1,1)}^5 \xrightarrow{R^7} \Omega_{\text{out}}^j) &= P(\Delta_{(1,1,1,1)}^5 \xrightarrow{R^7} \Delta_{(1,1,1,1)}^j) + P(\Delta_{(1,1,1,1)}^5 \xrightarrow{R^7} \Delta_{(4,4,4,4)}^j) \\ &\quad + P(\Delta_{(1,1,1,1)}^5 \xrightarrow{R^7} \Delta_{(1,4,4,1)}^j) + P(\Delta_{(1,1,1,1)}^5 \xrightarrow{R^7} \Delta_{(4,1,1,4)}^j) \\ &\quad + P(\Delta_{(1,1,1,1)}^5 \xrightarrow{R^7} \Delta_{(8,8,8,8)}^j) \\ &= 2^{-58.89} \end{aligned}$$

考察输出差分集合  $\Omega_{\text{out}} = \cup_{j=1}^4 \Omega_{\text{out}}^j$ , 任意一对输入差分为  $\Delta_{\text{in}} = \Delta_{(1,1,1,1)}^5$  的明文, 经过 7 轮 PRINCE 后输出差分属于集合  $\Omega_{\text{out}}$  的概率为

$$P(\Delta_{(1,1,1,1)}^5 \xrightarrow{R^7} \Omega_{\text{out}}) = 2^{-58.89} \times 4 = 2^{-56.89}$$

而对随机置换而言, 其密文差分属于集合  $\Omega_{\text{out}}$  的概率为  $2^{-64} \times 5 \times 4 = 2^{-59.68}$ . 选择  $2^{56.89}$  对差分为  $\Delta_{(1,1,1,1)}^5$  的明文对, 计算其相应的密文差分, 对 7 轮 PRINCE 而言以概率为  $1 - (1 - 2^{-56.89})^{2^{56.89}} \approx 63.21\%$ , 存在一对密文差分属于集合  $\Omega_{\text{out}}$ ; 而对随机置换而言, 存在一对密文差分属于集合  $\Omega_{\text{out}}$  的概率为  $1 - (1 - 2^{-59.68})^{2^{56.89}} \approx 13.46\%$ . 该区分器所需数据复杂度约为  $2^{57.89}$  个选择明文, 计算复杂度约为  $2^{56.89}$  次密文异或.

同样的方法也可以用来从选择密文的方向来区分 7 轮 PRINCE. 选择密文差分  $\Delta_{\text{out}} = \Delta_{(1,1,1,1)}^1$ , 明文差分集合

$$\Omega_{\text{in}} = \{\Delta_{(1,1,1,1)}^i, \Delta_{(1,1,1,8)}^i, \Delta_{(1,1,8,1)}^i, \Delta_{(8,1,1,1)}^i, \Delta_{(1,1,8,8)}^i, \Delta_{(8,8,1,1)}^i, \Delta_{(8,8,8,8)}^i, i = 5, 6, 7, 8\}$$

任意一对差分为  $\Delta_{(1,1,1,1)}^1$  的密文, 对 7 轮 PRINCE 而言, 其明文差分属于集合  $\Omega_{\text{in}}$  的概率  $P(\Omega_{\text{in}} \xleftarrow{R^7} \Delta_{(1,1,1,1)}^1) = 2^{-56.53}$ ; 而对随机置换而言, 其明文差分属于集合  $\Omega_{\text{in}}$  的概率为  $2^{-59}$ .

## 5 8 轮 PRINCE 的密钥恢复攻击

利用 7 轮 PRINCE 差分区分器, 我们给出 8 轮 PRINCE 的密钥恢复攻击, 其数据复杂度为  $2^{61.89}$ , 时间复杂度为  $2^{19.68}$ , 存储复杂度为  $2^{15.21}$ , 这是目前 8 轮 PRINCE 时间复杂度最低的密钥恢复攻击. 将上节的 7 轮 PRINCE 差分区分器稍做改变, 考虑明文差分为  $\Delta_{(1,1,1,1)}^5$ , 输出差分集合为

$$W_{R^7} = \{\Delta_{(1,1,1,1)}^1, \Delta_{(4,4,4,4)}^1, \Delta_{(1,4,4,1)}^1, \Delta_{(4,1,1,4)}^1, \Delta_{(8,8,8,8)}^4\}$$

利用差分概率矩阵  $D_{R^7}$ , 计算输入差分为  $\Delta_{(1,1,1,1)}^5$  的明文, 经过 7 轮 PRINCE 后输出差分属于集合  $W_{R^7}$  的概率  $P(\Delta_{(1,1,1,1)}^5 \xrightarrow{R^7} W_{R^7}) = 2^{-58.89}$ , 而随机置换的概率为  $2^{-64} \times 5 = 2^{-61.68}$ . 首先利用此差分区分器来恢复密钥  $\hat{k} = k_1 \oplus k'_0$ , 过程如图 5 所示.

记  $\hat{k}^{(l)}$  表示  $\hat{k}$  的第  $l$  块,  $0 \leq l \leq 15$ , 块的顺序同图 2. 在明文差分为  $\Delta_{(1,1,1,1)}^5$  的条件下, 选择密文差分属于模式  $\Delta^6$  的密文对  $(C, C')$ , 即  $C \oplus C' = (0\eta_0\eta_1\ 0000\ \eta_2\ 0\eta_3\ 0\ 0000), \eta_i \neq 0, i = 0, 1, 2, 3$ . 猜测  $\hat{k}$

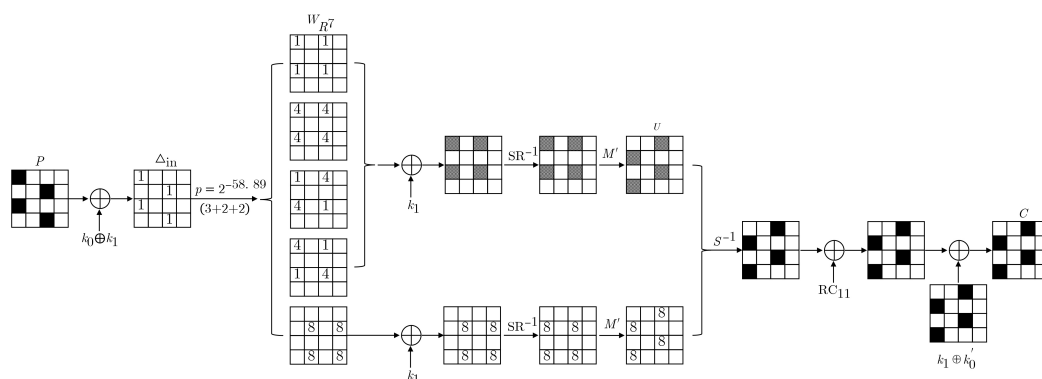


图 5 8 轮 PRINCE 密钥恢复攻击 ( $\hat{k}$ )  
Figure 5 Key recovery attack on 8-round PRINCE( $\hat{k}$ )

$$\begin{aligned} x &= S(C^{(1)} \oplus \hat{k}^{(1)} \oplus \text{RC}_{11}^{(1)}) \oplus S(C'^{(1)} \oplus \hat{k}^{(1)} \oplus \text{RC}_{11}^{(1)}) \\ y &= S(C^{(3)} \oplus \hat{k}^{(3)} \oplus \text{RC}_{11}^{(3)}) \oplus S(C'^{(3)} \oplus \hat{k}^{(3)} \oplus \text{RC}_{11}^{(3)}) \\ z &= S(C^{(8)} \oplus \hat{k}^{(8)} \oplus \text{RC}_{11}^{(8)}) \oplus S(C'^{(8)} \oplus \hat{k}^{(8)} \oplus \text{RC}_{11}^{(8)}) \\ w &= S(C^{(10)} \oplus \hat{k}^{(10)} \oplus \text{RC}_{11}^{(10)}) \oplus S(C'^{(10)} \oplus \hat{k}^{(10)} \oplus \text{RC}_{11}^{(10)}) \end{aligned}$$

使用同样的方法可恢复  $\hat{k}$  的其余 48 个比特, 只是考虑的输出差分集合不同而已, 恢复块  $\hat{k}^{(5)}, \hat{k}^{(7)}, \hat{k}^{(12)}, \hat{k}^{(14)}$  时, 输出差分集合  $W_{R7} = \{\Delta_{(1,1,1,1)}^2, \Delta_{(4,4,4,4)}^2, \Delta_{(1,4,4,1)}^2, \Delta_{(4,1,1,4)}^2, \Delta_{(8,8,8,8)}^3\}$ ; 恢复块  $\hat{k}^{(4)}, \hat{k}^{(6)}, \hat{k}^{(13)}, \hat{k}^{(15)}$  时, 输出差分集合  $W_{R7} = \{\Delta_{(1,1,1,1)}^3, \Delta_{(4,4,4,4)}^3, \Delta_{(1,4,4,1)}^3, \Delta_{(4,1,1,4)}^3, \Delta_{(8,8,8,8)}^2\}$ ; 恢复块  $\hat{k}^{(0)}, \hat{k}^{(2)}, \hat{k}^{(9)}, \hat{k}^{(11)}$  时, 输出差分集合  $W_{R7} = \{\Delta_{(1,1,1,1)}^4, \Delta_{(4,4,4,4)}^4, \Delta_{(1,4,4,1)}^4, \Delta_{(4,1,1,4)}^4, \Delta_{(8,8,8,8)}^1\}$ . 它们构成的差分区分器具有相同的概率  $P(\Delta_{(1,1,1,1)}^5 \xrightarrow{R7} W_{R7}) = 2^{-58.89}$ . 由于明文差分相同, 故四次攻击可以共享相同的明密文数据, 所以恢复  $\hat{k}$  的全部 64 比特需要约  $2^{61.89}$  个选择明文, 时间复杂度为  $2^{14.89}$  次 8 轮 PRINCE 加密, 存储复杂度为  $2^{60.89} \times 2^{-48} \times 5 = 2^{15.21}$  个 16 比特计数器.

利用恢复出来的  $\hat{k}_1$  将 8 轮 PRINCE 的密文解密一轮得到 7 轮的输出, 再利用 6.5 轮差分区分器可以恢复内层密钥  $k_1$ . 首先 6.5 轮 PRINCE 可以表示成:  $R^{6.5} = R'^{-1} \circ F_{\text{mid}} \circ R' \circ S \circ R$ , 利用上节的方法计算输入差分  $\Delta_{\text{in}} \in \sum_{\text{in}}^{R^{6.5}}$ , 输出差分  $\Delta_{\text{out}} \in \sum_{\text{out}}^{R^{6.5}} = \sum_{\text{out}}^{S'}$ , 经过 6.5 轮后的差分概率  $P(\Delta_{\text{in}} \xrightarrow{R^{6.5}} \Delta_{\text{out}})$  构成的矩阵  $D_{R^{6.5}} = D_R \cdot D_S \cdot D_{R'} \cdot D_{F_{\text{mid}}} \cdot D_{R'}^T$ . 将其写成分块矩阵的形式

$$D_{R^{6.5}} = \begin{pmatrix} Z & Z & Z & Z & Z & Z & Z & Z \\ Z & Z & Z & Z & Z & Z & Z & Z \\ Z & Z & Z & Z & Z & Z & Z & Z \\ Z & Z & Z & Z & Z & Z & Z & Z \end{pmatrix}$$

其中矩阵  $Z$  为一个  $8 \times 6$  的矩阵:

$$Z = \begin{pmatrix} 2^{-56.89} & 2^{-58.89} & 2^{-52.91} & 2^{-53.87} & 2^{-53.91} & 2^{-54.91} \\ 2^{-57.61} & 2^{-59.61} & 2^{-55.50} & 2^{-56.40} & 2^{-56.50} & 2^{-57.50} \\ 2^{-57.61} & 2^{-59.61} & 2^{-55.50} & 2^{-56.40} & 2^{-56.50} & 2^{-57.50} \\ 2^{-57.61} & 2^{-59.61} & 2^{-55.50} & 2^{-56.40} & 2^{-56.50} & 2^{-57.50} \\ 2^{-57.61} & 2^{-59.61} & 2^{-55.50} & 2^{-56.40} & 2^{-56.50} & 2^{-57.50} \\ 2^{-57.61} & 2^{-59.61} & 2^{-55.50} & 2^{-56.40} & 2^{-56.50} & 2^{-57.50} \\ 2^{-57.83} & 2^{-59.83} & 2^{-54.82} & 2^{-55.75} & 2^{-55.82} & 2^{-56.82} \\ 2^{-57.83} & 2^{-59.83} & 2^{-54.82} & 2^{-55.75} & 2^{-55.82} & 2^{-56.82} \\ 2^{-56.61} & 2^{-58.61} & 2^{-56.17} & 2^{-57.11} & 2^{-57.17} & 2^{-58.17} \end{pmatrix}$$

记  $k_1^{(l)}$  表示  $k_1$  的第  $l$  块,  $0 \leq l \leq 15$ , 块的顺序同图 2. 我们以恢复  $k_1$  的四个块  $k_1^{(0)}, k_1^{(2)}, k_1^{(8)}, k_1^{(10)}$  为例来说明攻击的过程, 如图 6 所示.

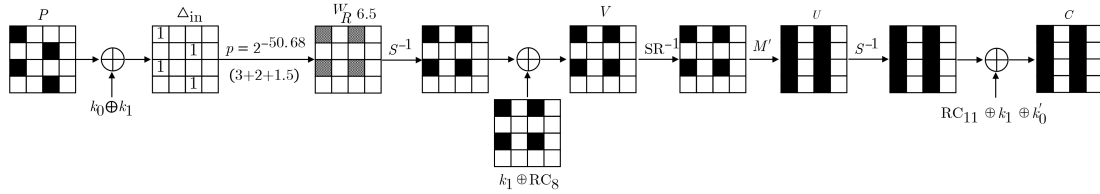


图 6 8 轮 PRINCE 密钥恢复攻击 ( $k_1$ )

Figure 6 Key recovery attack on 8-round PRINCE( $k_1$ )

根据差分概率矩阵  $D_{R^{6.5}}$ , 计算差分为  $\Delta_{(1,1,1,1)}^5$  的明文经过 6.5 轮 PRINCE 后, 差分属于集合

$$W_{R^{6.5}} = \{\Delta_{(a',a',c',c')}^1 | (a',c') \in \{1,4\} \times \{2,8,10\} \cup \{2,8,10\} \times \{1,4\}\}$$

的概率为  $P(\Delta_{(1,1,1,1)}^5 \xrightarrow{R^{6.5}} W_{R^{6.5}}) = 2^{-50.68}$ , 而随机置换的概率为  $2^{-64} \times 12 = 2^{-60.42}$ . 利用第一阶段攻击  $\hat{k}$  的数据, 选择密文差分满足第 2、4 列差分为 0 的密文对  $(C, C')$ , 即  $C \oplus C' = (\eta_0 \eta_1 \eta_2 \eta_3 0000 \eta_4 \eta_5 \eta_6 \eta_7 0000)$ ,  $\eta_i \neq 0, i = 0, \dots, 7$ . 使用  $\hat{k}$  进行一轮解密得到 7 轮输出的状态  $V = SR \circ M' \circ S \circ ARC \circ AK(C)$ , 并留下满足差分  $V \oplus V' = (\eta_0 0 \eta_1 0 0000 \eta_2 0 \eta_3 0 0000)$ ,  $\eta_i \neq 0, i = 0, 1, 2, 3$  的状态对  $(V, V')$ . 猜测  $k_1^{(0)}, k_1^{(2)}, k_1^{(8)}, k_1^{(10)}$ , 对每一对留下的  $(V, V')$ , 计算:

$$\begin{aligned} x &= S(V^{(0)} \oplus k_1^{(0)} \oplus RC_{11}^{(0)}) \oplus S(V'^{(0)} \oplus k_1^{(0)} \oplus RC_{11}^{(0)}) \\ y &= S(V^{(2)} \oplus k_1^{(2)} \oplus RC_{11}^{(2)}) \oplus S(V'^{(2)} \oplus k_1^{(2)} \oplus RC_{11}^{(2)}) \\ z &= S(V^{(8)} \oplus k_1^{(8)} \oplus RC_{11}^{(8)}) \oplus S(V'^{(8)} \oplus k_1^{(8)} \oplus RC_{11}^{(8)}) \\ w &= S(V^{(10)} \oplus k_1^{(10)} \oplus RC_{11}^{(10)}) \oplus S(V'^{(10)} \oplus k_1^{(10)} \oplus RC_{11}^{(10)}) \end{aligned}$$

如果  $(x, y, z, w) \in \{(a, a, c, c) | (a, c) \in \{1, 4\} \times \{2, 8, 10\} \cup \{2, 8, 10\} \times \{1, 4\}\}$ , 则  $k_1^{(0)}, k_1^{(2)}, k_1^{(8)}, k_1^{(10)}$  对应猜测值的计数器增加 1, 直到有一个计数器的值明显高于其他计数器, 则该计数器对应的就是  $k_1^{(0)}, k_1^{(2)}, k_1^{(8)}, k_1^{(10)}$  的候选值. 同样依据文献 [15] 计算信噪比为  $\frac{2^{16} \times 2^{-50.68}}{2^{-48} \times 12} = 852.19$ , 所以成功区分  $k_1^{(0)}, k_1^{(2)}, k_1^{(8)}, k_1^{(10)}$  的正确值和错误值所需明文对为  $2^{50.68} \times 4 = 2^{52.68}$ . 这些数据可以在第一阶段攻击  $\hat{k}$  的  $2^{60.89}$  对数据中随机选择, 它们对应的密文对满足第 2、4 列差分为 0 的对数约为  $2^{52.68} \times 2^{-32} = 2^{20.68}$ , 所以需要对  $2^{21.68}$  个密文进行一轮解密. 解密后状态差分  $V \oplus V' = (\eta_0 0 \eta_1 0 0000 \eta_2 0 \eta_3 0 0000)$ ,  $\eta_i \neq 0, i = 0, 1, 2, 3$  的状态对  $(V, V')$  大约有  $2^{20.68} \times 2^{-16} = 2^{4.68}$  对, 判断  $(x, y, z, w)$  是否落在集合中约需要  $2^{4.68} \times 2 \times 2^4 \times 4 = 2^{11.68}$  次 S 盒运算, 这部分计算量相对于密文一轮解密可以忽略不计, 所以恢复

$k_1^{(0)}, k_1^{(2)}, k_1^{(8)}, k_1^{(10)}$  的时间复杂度为  $2^{21.68}$  次一轮解密运算. 在恢复块  $k_1^{(1)}, k_1^{(3)}, k_1^{(9)}, k_1^{(11)}$  时, 仍选择第 2、4 列差分分为 0 的密文对进行一轮解密, 计算量可以与恢复  $k_1^{(0)}, k_1^{(2)}, k_1^{(8)}, k_1^{(10)}$  时共享. 所以恢复  $k_1$  全部 64 比特密钥, 时间复杂度为  $2^{22.68}$  次一轮解密, 相当于  $2^{19.68}$  次 8 轮 PRINCE 加密. 在获得正确的  $k_1$  和  $\hat{k}$  后, 利用它们之间的关系可以直接恢复出原始的 128 比特密钥. 综上所述, 恢复 8 轮 PRINCE 的全部密钥需要的数据复杂度为  $2^{61.89}$ , 时间复杂度为  $2^{19.68}$ , 存储复杂度为  $2^{15.21}$ ,  $D \times T$  复杂度为  $2^{81.57}$ .

作为比较, 将文献 [8] 中 A. Canteaut 等给出的 10 轮攻击方案减少到 8 轮, 恢复 128 比特密钥中的 32 比特的过程如图 7 所示. 由于 A. Canteaut 等给出的区分器最长为 6 轮, 概率为  $2^{-53.36}$ , 所以攻击 8 轮 PRINCE 需要首尾同时猜测密钥且最少需要猜测 8 个密钥块. 根据 6 轮区分器的概率, 数据复杂度至少需要  $2^{53.36} \times 4 \times 2 = 2^{56.36}$  个选择明文, 时间复杂度至少  $2^{32} \times (2^{56.36} \times 2^{-48}) \times 8 = 2^{43.36}$  次 S 盒运算, 相当于  $2^{36.36}$  次 8 轮 PRINCE 加密. 恢复全部 128 比特密钥的数据复杂度至少为  $2^{58.36}$ , 时间复杂度至少为  $2^{38.36}$ . 相较之下, 本文在时间复杂度上具有明显优势.

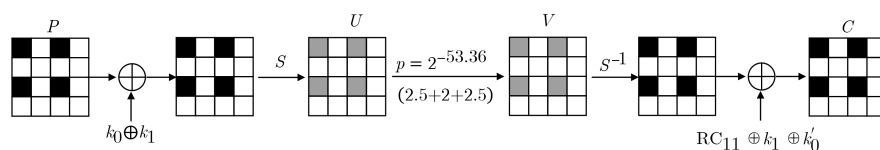


图 7 应用文献 [8] 区分器攻击 8 轮 PRINCE

Figure 7 Attack on 8-round PRINCE using distinguisher given in Ref. [8]

## 6 结束语

本文利用改进的多重差分技术给出了目前轮数最长的 7 轮 PRINCE 区分器, 将其与随机置换区分需要数据复杂度约为  $2^{57.89}$  个选择明文, 计算复杂度约为  $2^{56.89}$  次密文异或. 利用此区分器我们给出了 8 轮 PRINCE 的密钥恢复攻击, 数据复杂度为  $2^{61.89}$  个选择明文, 时间复杂度为  $2^{19.68}$  次 8 轮加密, 存储复杂度为  $2^{15.21}$  个 16 比特计数器. 相比目前已知的 8 轮 PRINCE 密钥恢复攻击的结果, 包括将 A. Canteaut 等给出的 10 轮攻击方案减少到 8 轮, 本文的时间复杂度和  $D \times T$  复杂度都是最低的. 能否将本文的攻击技术扩展到更高轮数将是后续研究的方向.

## 参考文献

- [1] BOGDANOV A, KNUDSEN L R, LEANDER G, et al. PRESENT: An ultra-lightweight block cipher[C]. In: Cryptographic Hardware and Embedded Systems—CHES 2007. Springer Berlin Heidelberg, 2007: 450–466. [DOI: 10.1007/978-3-540-74735-2\_31]
- [2] BEAULIEU R, SHORS D, SMITH J, et al. The Simon and Speck families of lightweight block ciphers[C]. In: Proceedings of the 52nd Annual Design Automation Conference. ACM, 2015: 175. [DOI: 10.1145/2744769.2747946]
- [3] BORGHOFF J, CANTEAUT A, GÜNEYSU T, et al. PRINCE—A low-latency block cipher for pervasive computing applications[C]. In: Advances in Cryptology—ASIACRYPT 2012. Springer Berlin Heidelberg, 2012: 208–225. [DOI: 10.1007/978-3-642-34961-4\_14]
- [4] KILIAN J, ROGAWAY P. How to protect DES against exhaustive key search (an analysis of DESX)[J]. Journal of Cryptology, 2001, 14(1): 17–35. [DOI: 10.1007/s001450010015]
- [5] SOLEIMANY H, BLONDEAU C, YU X, et al. Reflection cryptanalysis of PRINCE-like ciphers[C]. In: Fast Software Encryption—FSE 2013. Springer Berlin Heidelberg, 2013: 71–91. [DOI: 10.1007/978-3-662-43933-3\_5]
- [6] JEAN J, NIKOLIC I, PEYRIN T, et al. Security analysis of PRINCE[C]. In: Fast Software Encryption—FSE 2013. Springer Berlin Heidelberg, 2013: 92–111. [DOI: 10.1007/978-3-662-43933-3\_6]
- [7] LI L B, JIA K T, WANG X Y. Improved meet-in-the-middle attacks on AES-192 and PRINCE[J]. IACR Cryptology ePrint Archive, 2013: 2013/573. <http://eprint.iacr.org/2013/573.pdf>
- [8] CANTEAUT A, FUHR T, GILBERT H, et al. Multiple differential cryptanalysis of round-reduced PRINCE[C]. In: Fast Software Encryption—FSE 2014. Springer Berlin Heidelberg, 2014: 591–610. [DOI: 10.1007/978-3-662-46706-0\_30]

- [9] ZHAO G Y, SUN B, LI C, et al. Truncated differential cryptanalysis of PRINCE[J]. Security and Communication Networks, 2015, 8: 2875–2887. [DOI: 10.1002/sec.1213]
- [10] DERBEZ P, PERRIN L. Meet-in-the-middle attacks and structural analysis of round-reduced PRINCE[C]. In: Fast Software Encryption—FSE 2015. Springer Berlin Heidelberg, 2015: 190–216. [DOI: 10.1007/978-3-662-48116-5\_10]
- [11] MORAWIECKI P. Practical attacks on the round-reduced PRINCE[J]. IACR Cryptology ePrint Archive, 2015: 2015/245. <http://eprint.iacr.org/2015/245.pdf>
- [12] POSTEUCA R, NEGARA G. Integral cryptanalysis of round-reduced PRINCE cipher[J]. Proceedings of the Romanian Academy Series A—Mathematics, Physics, Technical Sciences, Information Science, 2015, 16: 265–269.
- [13] RASOOLZADEH S, RADDUM H. Faster key recovery attack on round-reduced PRINCE[C]. In: Lightweight Cryptography for Security and Privacy—LightSec 2016. Springer Cham, 2017: 3–17. [DOI: 10.1007/978-3-319-55714-4\_1]
- [14] GRASSI L, RECHBERGER C. Practical low data-complexity subspace-trail cryptanalysis of round-reduced PRINCE[C]. In: Progress in Cryptology—INDOCRYPT 2016. Springer Cham, 2016: 322–342. [DOI: 10.1007/978-3-319-49890-4\_18]
- [15] BIHAM E, SHAMIR A. Differential cryptanalysis of DES-like cryptosystems[J]. Journal of Cryptology, 1991, 2(3): 3–72. [DOI: 10.1007/BF00630563]

## 作者信息

段春晖 (1995–), 黑龙江哈尔滨人, 硕士. 主要研究领域  
为对称密码的设计与分析.  
[duan\\_chunhui@126.com](mailto:duan_chunhui@126.com)

谭林 (1983–), 湖北天门人, 博士, 副教授. 主要研究领域  
为对称密码的设计与分析.  
[tanlin100@163.com](mailto:tanlin100@163.com)

戚文峰 (1963–), 浙江宁波人, 博士, 教授. 主要研究领域  
为对称密码算法的安全性分析.  
[qiwenfeng@263.com](mailto:qiwenfeng@263.com)

## 附录: PRINCE 算法 S 盒的差分分布表

输入差分	输出差分															
	0	1	2	3	4	5	6	7	8	9	A	B	C	D	E	F
0	16	0	0	0	0	0	0	0	0	0	0	0	0	0	0	0
1	0	4	0	0	2	0	2	0	4	2	0	2	0	0	0	0
2	0	2	0	4	0	0	0	2	2	0	0	0	0	4	2	0
3	0	0	0	0	0	2	2	0	2	2	2	2	2	0	0	2
4	0	2	2	4	2	2	0	0	2	0	2	0	0	0	0	0
5	0	0	2	2	0	2	0	2	0	2	0	2	2	2	0	0
6	0	0	2	2	0	2	2	0	0	2	0	2	0	0	4	0
7	0	0	2	0	0	0	2	0	2	0	4	0	0	2	2	2
8	0	0	2	0	4	2	0	0	2	2	0	2	0	2	0	0
9	0	0	2	2	0	0	0	0	0	2	2	0	4	2	0	2
A	0	0	0	2	2	4	0	4	2	0	0	0	0	0	0	2
B	0	2	0	0	4	0	0	2	0	0	0	2	2	0	2	2
C	0	4	0	0	0	2	2	0	0	0	2	2	2	0	2	0
D	0	2	0	0	0	0	0	2	0	4	2	0	0	2	2	2
E	0	0	2	0	0	0	4	2	0	0	0	2	2	2	0	2
F	0	0	2	0	2	0	2	2	0	0	2	0	2	0	2	2